# 用于高温 NaCl-KCl 熔盐体系莫来石隔膜 Ag/AgCl 参比电极的性能研究

张 磊,何 辉,程仲平,林如山,肖益群

中国原子能科学研究院 放射化学研究所,北京 102413

摘要:制备了用于高温 NaCl-KCl 熔盐体系的莫来石隔膜 Ag/AgCl 参比电极,并研究了该参比电极的性能。结果表明,初次于 830  $^{\circ}$  NaCl-KCl 熔盐体系中使用时参比电极的活化时间为 2 h。在 780~880  $^{\circ}$  范围内,实验所得电位差值与计算值的偏差在±3 mV 以内,温度与电位差呈线性关系( $r^2$ =0.999)。±10 mA 电流极化 10 s 后电极电势可于 10 min 内恢复平衡。以上结果表明,莫来石隔膜 Ag/AgCl 参比电极具有良好的稳定性、平行性和重现性,可用于高温 NaCl-KCl 熔盐体系的电化学行为研究。

关键词:氯化物熔盐;莫来石隔膜;Ag/AgCl参比电极

中图分类号:TL214.2 文献标志码:A 文章编号:0253-9950(2021)04-0318-05

doi:10.7538/hhx.2020. YX.2020002

# Application of Mullite Membrane Ag/AgCl Reference Electrode Used in High Temperature Chloride Molten Salt

ZHANG Lei, HE Hui, CHENG Zhong-ping, LIN Ru-shan, XIAO Yi-qun

China Institute of Atomic Energy, P. O. Box 275(26), Beijing 102413, China

**Abstract:** The mullite membrane Ag/AgCl reference electrode employed for the high-temperature NaCl-KCl molten salt was prepared, and its performance were comprehensively evaluated. The results show that the initial activation time of mullite membrane Ag/AgCl reference electrode in 830 °C NaCl-KCl molten salt system is about 2 h. In the range of 780-880 °C, the difference between the actual measured voltage value and the calculated value is within  $\pm 3$  mV. The linear fitting of potential difference and temperature was studied and the value of  $r^2$  is 0.999. The potential can obtain equilibrium within 10 min after polarization at  $\pm 10$  mA for 10 s. The reference electrode with advantages of good stability, parallelism and reproducibility can be used to investigate the electrochemical behavior of chloride molten salt system.

Key words: chloride molten salt; mullite membrane; Ag/AgCl reference electrode

NaCl-KCl 熔盐具有初晶温度高[1]、挥发小、价格低廉等优点,可作为难熔金属(钨、钼等)、稀

土金属(铈<sup>[2]</sup>等)和锕系金属(铀<sup>[3]</sup>、钚<sup>[4]</sup>等)等的 电解、萃取纯化<sup>[5]</sup>的体系。掌握 NaCl-KCl 熔盐 体系中元素的电化学行为是开展电解研究的必要条件之一,而稳定可靠的参比电极是熔盐电化学研究的前提<sup>[6]</sup>。

NaCl-KCl 熔盐体系中使用的参比电极有准 参比电极[7]、Cl-/Cl2参比电极以及 Ag/AgCl参 比电极<sup>[8]</sup>,其中 Ag/AgCl 参比电极由于结构简 易、可逆性良好,广泛地应用于高温熔盐电化学研 究[9]。由于 Ag/Ag+电对是可逆的,因此隔膜材 料的选择对参比电极的性能起着至关重要的作 用。目前,隔膜材料有高硅硼玻璃[10]、石英[11]、刚 玉[4]和莫来石[6,12-13]等。其中,高硅硼玻璃由于 软化点低,不适合 NaCl-KCl 熔盐体系;石英隔膜 在850℃以上时,电阻率仍然很大,致使石英参比 电极在 900 ℃时仍有瞬时的电位波动现象[14];而 刚玉材料由于电阻较大[15],需打磨至较薄或制成 多孔陶瓷,工艺复杂。莫来石隔膜具有电阻小[6]、 结构稳定、抗热震性好和抗化学侵蚀性强等[16]优 点,已用于低温 LiCl 熔盐体系[6,12-13],但在高温 NaCl-KCl 熔盐体系中的应用未见报道。

本研究拟采用莫来石作为 NaCl-KCl 熔盐体系中 Ag/AgCl 参比电极的隔膜,考察活化时间、温度、极化电流对参比电极稳定性的影响,并研究参比电极的平行性及重复使用性能等。

#### 1 实验部分

#### 1.1 试剂和仪器

氯化钠、氯化钾(分析纯),AgCl(纯度 99.5%), 上海麦克林生化科技有限公司;氯化钠(纯度 99.99%),氯化钾(纯度 99.99%),上海阿拉丁试剂有限公司;Ag 丝(直径 1 mm,纯度 99.99%), Alfa-alser(天津)有限公司;莫来石,6×4 HB,日本 Nikkato 株式合作社;刚玉坩埚,订制,巩义市颖辉高铝瓷厂;高纯液氩(纯度 99.999%),北京氙禾玉商贸有限公司。

Satorius BSA224S 电子天平, 精度 0.000 1 g, 德国赛多利斯集团; Gamry Reference 5000 电化 学工作站, 美国 Gamry 公司。

#### 1.2 实验装置

参比电极性能评价实验装置示于图 1。如图 1所示,该装置主要由密封手套箱、氩气循环净化系统、加热系统、冷却水循环系统、坩埚炉和尾气处理系统等部分组成。

#### 1.3 参比电极制备

熔盐纯化:将一定量的 NaCl 和 KCl 熔盐分

别置于电阻炉中,升温至 300 ℃以除去水分和易挥发杂质。按摩尔比 1:1 将 NaCl 和 KCl 混合均匀,升温至 750 ℃待熔盐熔融后通人 HCl 气体 30 min,随后通人高纯氩气以除去残留的 HCl,将混合熔盐转至陶瓷盘中,冷却后收集备用。

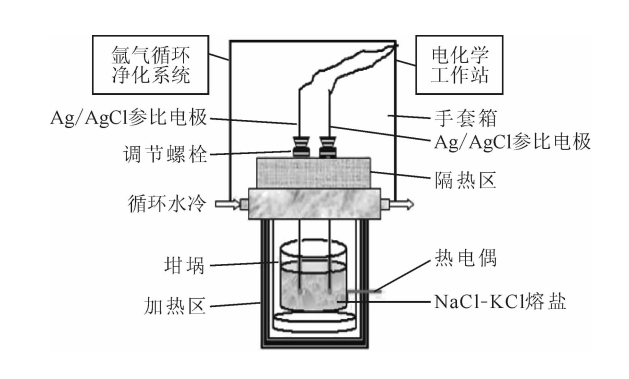


图 1 参比电极性能评价实验装置示意图 1 Experimental setup for performance evaluation

Fig. 1 Experimental setup for performance evaluation of mullite membrane  ${\rm Ag/AgCl}$  reference electrode

内参比盐制备:将纯化后的 NaCl-KCl 混合熔 盐转移至氩气气氛手套箱内,按实验所需比例称取 AgCl 粉末与之混合。添加比例根据文献调研 [12-13] 及前期实验确定,参比电极内部 AgCl 的摩尔分数 控制在  $1\%\sim2\%$ 。在刚玉坩埚内将熔盐混合均匀,设定温度为 750  $\mathbb{C}$ ,使熔盐熔化并恒温维持 1 h,随后自然冷却,并将熔盐磨碎后收集备用。

参比电极制备:莫来石管(内径 4 mm)底部稍作打磨,将 1.0 g 参比盐粉末加入莫来石管内部。随后将直径 1 mm 的 Ag 丝插入莫来石管。将莫来石管置于炉膛内加热,待熔盐融化后将 Ag 丝插入底部,顶部采用高温陶瓷胶密封,干燥后即可使用。莫来石隔膜 Ag/AgCl 参比电极的底部示于图 2。

### 1.4 参比电极性能研究

高温熔盐体系对参比电极的要求主要包括: 在实验条件下具备良好的可逆性,可以长时间稳定工作,不同批次制备的电极平行性良好。 据此要求,参比电极的性能研究主要包括活化时间、可逆性、耐极化性、稳定性、平行性和重现性几方面。

# 2 结果和讨论

#### 2.1 活化时间

参比电极在第一次使用时需要经过活化步骤,活化过程中电位变化较大,完成活化后即可使

电位趋于稳定。活化时间的长短与所选择的隔膜材质、隔膜的厚度以及实验所选择的温度有直接关系。实验采用不同批次制备的两根莫来石隔膜Ag/AgCl(2%,摩尔分数,下同)参比电极分别作为工作电极和对电极,在工艺条件(NaCl-KCl 熔盐体系,温度830°)下测定电极电位稳定所需要的时间,结果示于图3。由图3可见,该参比电极经过2h活化,电位趋于稳定。

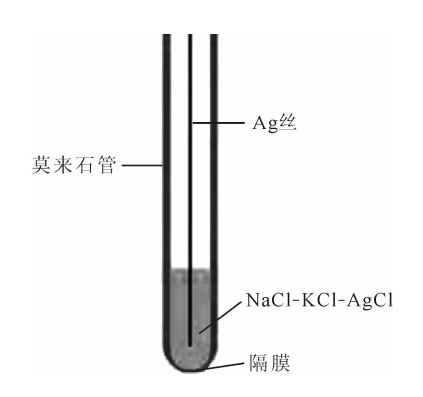


图 2 莫来石隔膜 Ag/AgCl 参比电极底部示意图 Fig. 2 Schematic diagram of bottom of mullite membrane Ag/AgCl reference electrode

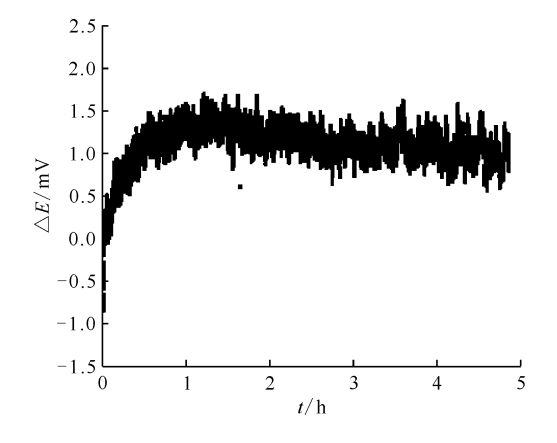


图 3 NaCl-KCl 熔盐体系 830 ℃时 Ag/AgCl(2%)参比电极的活化时间 Fig. 3 Activation time of mullite membrane Ag/AgCl(2%) reference electrode in NaCl-KCl molten salt at 830 ℃

# 2.2 温度对电极可逆性影响

以莫来石为隔膜,制备两根 AgCl 浓度不同的参比电极,置于 NaCl-KCl 熔盐体系中,组成如下电池:

Ag|AgCl(1%), NaCl-KCl(99%) || 莫来石| NaCl-KCl|莫来石 || AgCl(2%), NaCl-KCl(98%) | Ag 根据能斯特方程,可将上述浓差电池的电位 表示为:

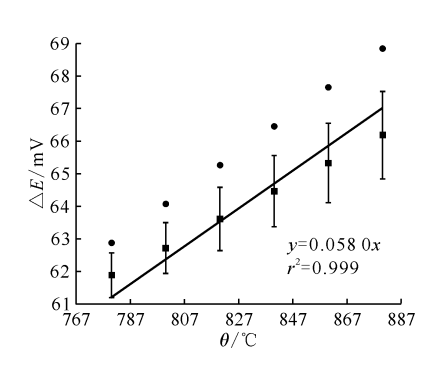
$$E = (RT/F) \ln[(\gamma_1 c_1)/(\gamma_2 c_2)]$$

其中:E 为电极电势,V;T 为热力学温度,K;R 为摩尔气体常数,8. 314 J/(K · mol);F 为法拉第常数,96. 487 kJ/(V · mol); $\gamma$  为活度系数;c 为离子浓度,mol/L。

实验过程中所选用的 AgCl 的摩尔分数小于 等于 2%,可近似认为活度系数相等,即  $\gamma_1 = \gamma_2$ ,上述方程可表示为:

 $E = (RT/F)\ln(0.02/0.01) = 0.693RT/F$ 

通过开路电位法分别测定了两电极在  $780 \sim 880 \, ^{\circ} \, ^{\circ}$ 



■ → 测量值, ● → 计算值, 直线 → ΔE 拟合直线
图 4 莫来石隔膜 Ag/AgCl 参比电极电位差与温度的关系
Fig. 4 Relationship of mullite membrane Ag/AgCl
reference electrode potential with temperature

#### 2.3 耐极化性能

参比电极的极化是由于微小的电流通过参比 电极后引起的电位变化。在进行电化学实验时, 所使用的参比电极需要具备良好的耐极化性能, 在电流通过参比电极后需要在短时间内恢复至平 衡状态。为了进行实验条件下耐极化性能的测试, 制备两根相同 AgCl 浓度的参比电极组成电池:

Ag|AgCl(2%),NaCl-KCl(98%) || 莫来石 | NaCl-KCl|莫来石 || AgCl(2%),NaCl-KCl(98%) | Ag 在 830  $\mathbb{C}$  条件下,依次设置电流 ± 1 mA、 ±5 mA和 ± 10 mA 分别进行极化,极化时间设置 为 10 s,随后分别进行电位的测定,结果示于 图 5。由图 5 可知,极化后电位发生明显变化,随 后逐渐恢复至平衡电位,恢复时间小于 10 min, 表明所制备的参比电极具备良好的耐极化性能。

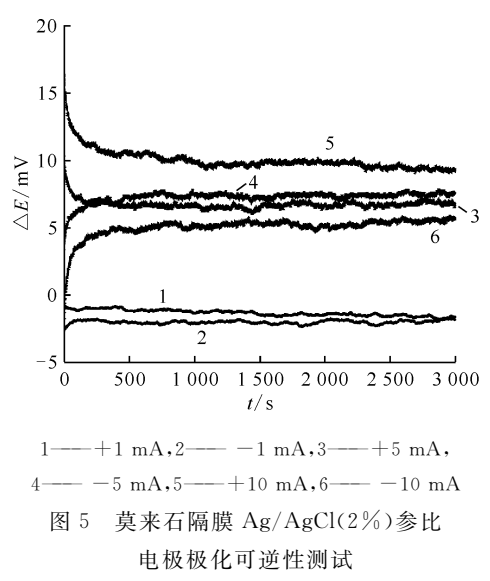


Fig. 5 Polarization reversibility test of mullite membrane Ag/AgCl(2%) reference electrode

#### 2.4 稳定性

参比电极长时间稳定性对电化学测量至关重要,进行工艺条件实验时,作为基准的参比电极必须保证实验周期内电位变化尽可能小,因此需对电极的长期稳定性进行评价。通过开路电位法研究了830℃时 NaCl-KCl 熔盐体系中两根莫来石

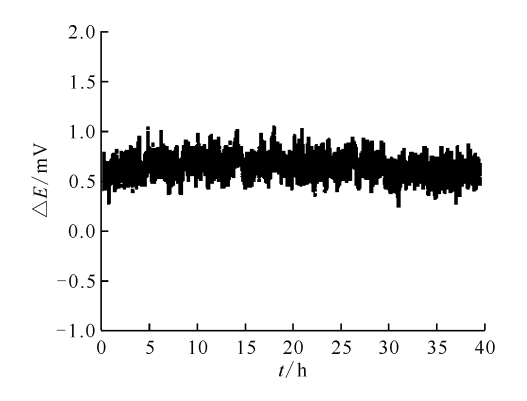


图 6 830 ℃下 NaCl-KCl 熔盐中莫来石隔膜 Ag/AgCl(2%)参比电极电位差随时间的变化 Fig. 6 Changes of potential difference with time for two mullite membrane Ag/AgCl(2%) reference electrodes in NaCl-KCl molten salt at 830 ℃

隔膜 Ag/AgCl(2%)参比电极长时间测定电位的变化情况,结果示于图 6。如图 6 所示,在测量周期内,电位差有微小变化,但总体趋势维持稳定,变化幅度小于 1 mV,说明所制备的参比电极具备良好的稳定性,可满足实验周期内的测量要求。

#### 2.5 平行性

采用相同工艺制备的参比电极必须保证不同时间、不同批次制备的电极具有良好的平行性,不同参比电极测量得到的电化学数据才具有可比性。通过多次制备的参比电极两两组合、测定电位差的方式来评判平行性。选取不同批次制备的10支参比电极两两随机组合,测定两电极电位差,结果列于表1。由表1可知所制备的参比电极电位差小于3 mV,说明不同批次制备的参比电极平行性良好,该制备方法稳定可靠。

表 1 莫来石隔膜 Ag/AgCl(2%)参比电极的平行性
Table 1 Parallelism of mullite membrane
Ag/AgCl(2%) reference electrode

参比电极	电位差/mV	参比电极	电位差/mV
1 # 和 2 #	$2.6 \times 10^{-2}$	7 # 和 8 #	0.20
3 # 和 4 #	2.8	9 # 和 10 #	1.2
5 # 和 6 #	0.70		

#### 2.6 重现性

将两根莫来石隔膜 Ag/AgCl(2%) 参比电极在 830  $\mathbb{C}$  条件下重复测量 3 次,结果示于图 7。图 7 结果表明,在 3 次测量过程中,两电极间的电位差变化幅度较小,波动范围在±2 mV以内,具备良好的重现性。

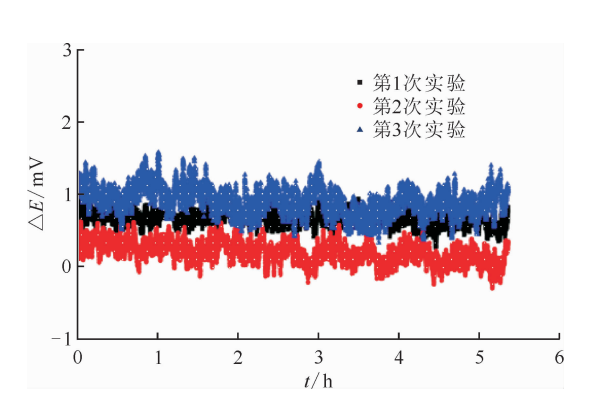


图 7 830 ℃下 NaCl-KCl 熔盐中 莫来石隔膜 Ag/AgCl(2%)参比电极重现性 Fig. 7 Reproducibility of mullite membrane Ag/AgCl(2%) reference electrode in NaCl-KCl molten salt at 830 ℃

# 3 结 论

以莫来石为隔膜材料,制备了用于高温 NaCl-KCl 熔盐体系的 Ag/AgCl 参比电极,并对 其性能进行评价。在手套箱中制备的莫来石隔膜 Ag/AgCl 参比电极的活化时间约为 2 h;在  $780 \sim 880$   $\mathbb{C}$  范围内测量,实验所得电位差值与计算值 偏差在  $\pm 3 \, \text{mV}$  内,电位差与温度拟合曲线为直线, $r^2 = 0.999$ ;电极极化后可在  $10 \, \text{min}$  内恢复平衡。该参比电极的制备工艺简单,具有良好的稳定性、平行性和重现性,可适用于高温 NaCl-KCl 熔盐体系中电化学行为的研究。

#### 参考文献:

- [1] Mohammad M B, Cadusch P, Brooks G A, et al. The binary alkali nitrate and chloride phase diagrams: NaNO<sub>3</sub>-KNO<sub>3</sub>, LiNO<sub>3</sub>-NaNO<sub>3</sub>, LiNO<sub>3</sub>-KNO<sub>3</sub> and NaCl-KCl[J]. Metallurgical and Materials Transactions B, 2018, 49(6): 3580-3593.
- [2] 吴延科,李鸿亚,陈义武,等. NaCl-KCl-CeCl<sub>3</sub> 熔盐 体系电解精炼铈的研究[J]. 中国稀土报:1-8[2020-02-19]. http://kns. cnki. net/kcms/detail/11. 2365. TG. 20190530. 0903. 010. html.
- [3] Serrano K, Taxil P. Electrochemical reduction of trivalent uranium ions in molten chlorides[J]. J Appl Electrochem, 1999, 29(4): 497-503.
- [4] Lambertin D, Ched'homme S, Bourgès G, et al. Plutonium chemical properties in NaCl-KCl and CaCl<sub>2</sub> at 1 073 K[J]. J Nucl Mater, 2005, 341(2-3): 124-130.
- [5] Cusick M J. 利用 Al-Mg 合金从废熔盐萃取盐中回 收钚和镅[C]//国外核科技文献选编:核科技译丛 十周年文集. 北京:中国核学会,2014:342-348.
- [6] 王有群,林如山,叶国安,等. 高温氯化物熔盐中使

- 用的 Ag/AgCl 参比电极研究进展[J]. 现代化工, 2015, 35(3): 21-25.
- [7] Kasem B K K, Jones S. Platinum as a reference electrode in electrochemical measurements[J]. Platinum Metals Review, 2008, 52(2): 100-106.
- [8] 林如山,王有群,何辉,等.用于熔盐体系的莫来石隔膜 Ag/AgCl 参比电极的性能研究[J]. 核化学与放射化学,2019,41(5):447-451.
- [9] Rahul P, Ananthasivan K, Anthonysamy S, et al. Development and electrochemistry of a novel Ag/AgCl reference electrode suitable for mixed chloride-fluoride melts[J]. Electrochim Acta, 2011, 56(11): 4276-4280.
- [10] 贾艳虹,何辉,林如山,等. 用于熔盐高硅硼玻璃隔 膜银/氯化银参比电极研究[J]. 无机盐工业,2015,47(3):60-63.
- [11] Gao P, Jin X, Wang D, et al. A quartz sealed Ag/AgCl reference electrode for CaCl<sub>2</sub> based molten salts[J]. J Electroanal Chem, 2005, 579(2): 321-328.
- [12] 程仲平,何辉,林如山,等. 氧化物电还原体系银/氯 化银参比电极性能研究[J]. 无机盐工业,2019,51(5):49-52,96.
- [13] Davies K, Li S X. Simplified reference electrode for electrorefining of spent nuclear fuel in high temperature molten salt [C]. Proceedings of Global 2007 Conference on Advanced Nuclear Fuel Cycles and Systems, Boise, 2007.
- [14] 牛焱,张鉴清,吴维叟.用于高温熔盐的参比电极[J]. 中国腐蚀与防护学报,1990,10(3):221-227.
- [15] 曹凯,沈湘黔,王涛平,等. 溶胶凝胶法制备纳米结构氧化铝陶瓷纤维[J]. 矿冶工程,2004,24(5):76-79.
- [16] 杨正方,徐海洋,谈家琪,等. 莫来石基陶瓷复合材料的力学性能[J]. 硅酸盐学报,1989(5):467-471.